

Синтез мовного сигналу за моделями голосових зв'язок та мовного тракту людини

I.O.Стеля

Київський національний університет
імені Тараса Шевченка, Київ, Україна
Igor.Stelia@gmail.com

Резюме

Розроблені математичні алгоритми та програмне забезпечення для модельного аналізу голосових зв'язок та мовного тракту людини, що разом складають підґрунтя для систем синтезу мови на основі математичних моделей.

1. Вступ

Метою роботи є розробка математичного і програмного забезпечення для моделювання і аналізу голосових зв'язок та мовного тракту людини. Голосові зв'язки є джерелом звуків, які створюються людиною, і спільно з моделями мовного тракту складають підґрунтя для систем синтезу мови на основі математичних моделей. Таким чином, створення комп'ютерних моделей є актуальним для вивчення мовотворення.

2. Математичні моделі

За основу математичної моделі голосових зв'язок обрана двомасова модель [1], згідно з якою кожна з голосових зв'язок описується двома масами, що здійснюють автоколивання під впливом потоку повітря в голосовій щілині. Система рівнянь для двох мас, що коливаються, записується у вигляді:

$$\begin{aligned} m_1 \frac{d^2 x_1(t)}{dt^2} + r_1 \frac{dx_1(t)}{dt} + k_1(x_1(t) - x_{01}) + k_c(x_1(t) - x_2(t)) &= l_g d_1 p_{m1}(t) \\ m_2 \frac{d^2 x_2(t)}{dt^2} + r_2 \frac{dx_2(t)}{dt} + k_2(x_2(t) - x_{02}) - k_c(x_1(t) - x_2(t)) &= l_g d_2 p_{m2}(t) \end{aligned} \quad (1)$$

де m_1 і m_2 - маси, $x_1(t)$, $x_2(t)$ - зміщення мас m_1 і m_2 , x_{01} , x_{02} - початкові положення мас m_1 і m_2 , t - час, r_1 і r_2 - коефіцієнти демпфування, k_1 , k_2 - пружність пружин для мас m_1 і m_2 , k_c - пружність пружини, що з'єднує маси m_1 і m_2 , d_1 і d_2 - товщина мас m_1 і m_2 , l_g - діюча довжина голосових зв'язок, $l_g d_1$, $l_g d_2$ - поверхні мас m_1 і m_2 , на які діють тиски $p_{m1}(t)$ і $p_{m2}(t)$.

Система (1) розв'язується спільно з системою рівнянь для змін тиску (будується на основі рівнянь Бернуллі), які відбуваються в потоці при його проходженні через голосові зв'язки.

В результаті реалізації моделі визначається потік повітря $u_g(t)$ на виході з голосової щілини. Цей потік

використовується як вихідна інформація для моделі мовного тракту.

Для моделювання розповсюдження акустичних хвиль у мовному тракті як у неоднорідній акустичній трубці, що починається між голосовими зв'язками та закінчується губами, використовується система рівнянь акустики, яка записується у вигляді [2,3]:

$$-\frac{\partial p}{\partial x} = \frac{\rho}{A(x)} \frac{\partial u}{\partial t}, \quad -\frac{\partial u}{\partial x} = \frac{A(x)}{\rho c^2} \frac{\partial p}{\partial t}, \quad (2)$$

де $p(x,t)$ - тиск у тракті в точці x ($0 \leq x \leq L$, де L - довжина мовного тракту) в момент часу t , $u(x,t)$ - об'ємна швидкість потоку, ρ - густина повітря в тракті, c - швидкість звуку і $A(x)$ - функція площі поперечного перетину.

Оскільки тракт має неоднорідний поперечний перетин, він розбивається на циліндричні секції однакової довжини з постійною площею перетину.

В якості крайової умови на вході в тракт вибирається потік $u_g(t)$, знайдений за моделлю голосових зв'язок.

Виходячи з цього, масу крайову умову:

$$u(0,t) = u_g(t). \quad (3)$$

На протилежному кінці тракту задається умова

$$p(L,t) = 0. \quad (4)$$

3. Програмне забезпечення

В основу алгоритма для реалізації моделі голосових зв'язок покладено метод Кутта-Мерсона, який об'єднується в єдину ітераційну процедуру з методом послідовної верхньої релаксації для розв'язування нелінійної системи для зміни тиску [4]. Для розв'язування системи (2) використовується метод „чехарда” [5,6].

Складність фізичного явища, що вивчається, призводить до необхідності урахування великої кількості параметрів. В свою чергу, математична модель є в значній мірі чутливою до збурень цих параметрів. Для зручного введення та редагування вихідних параметрів моделі та відображення результатів моделювання був розроблений графічний інтерфейс користувача. Екранна форма для введення параметрів моделі голосових зв'язок наведена на рисунку 1. За допомогою програмного забезпечення користувач моделі може вивчати вплив параметрів моделі на результат моделювання. Необхідні для вивчення джерела параметри і результати моделювання відображаються у цифровому та графічному вигляді за допомогою екранних форм користувача.

Для вивчення параметрів голосового джерела, окрім функції потоку, використовується його похідна. Приклад відображення результатів моделювання потоку та його похідної наведений на рисунку 2.

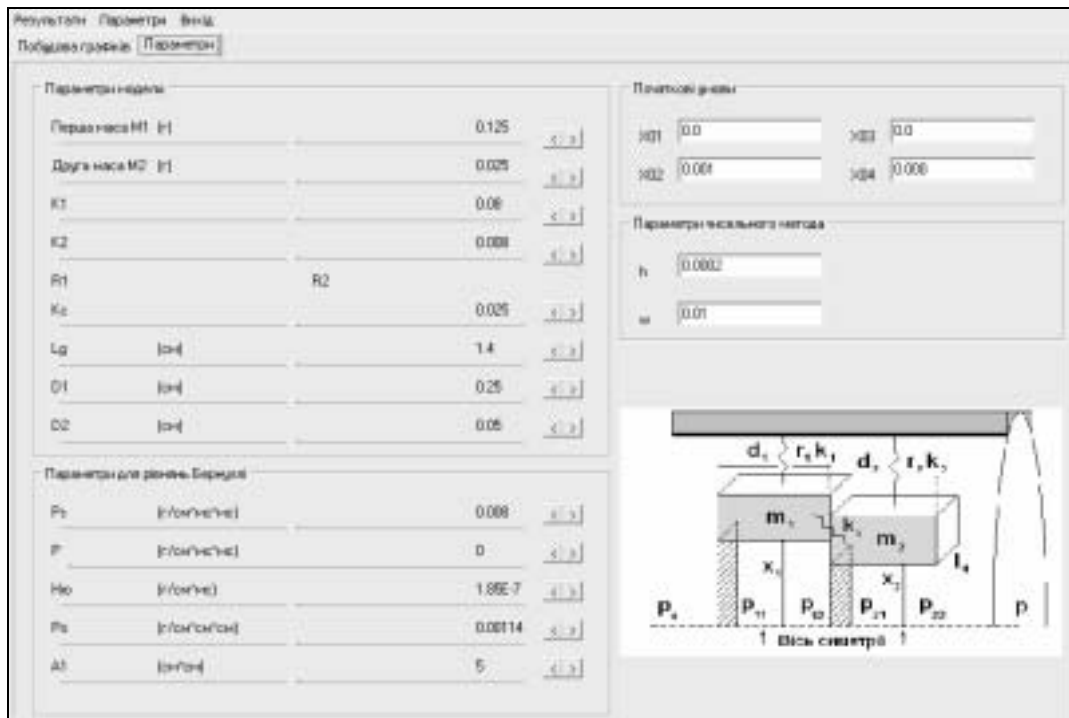


Рисунок 1: Екранна форма для введення параметрів моделі голосових зв'язок.

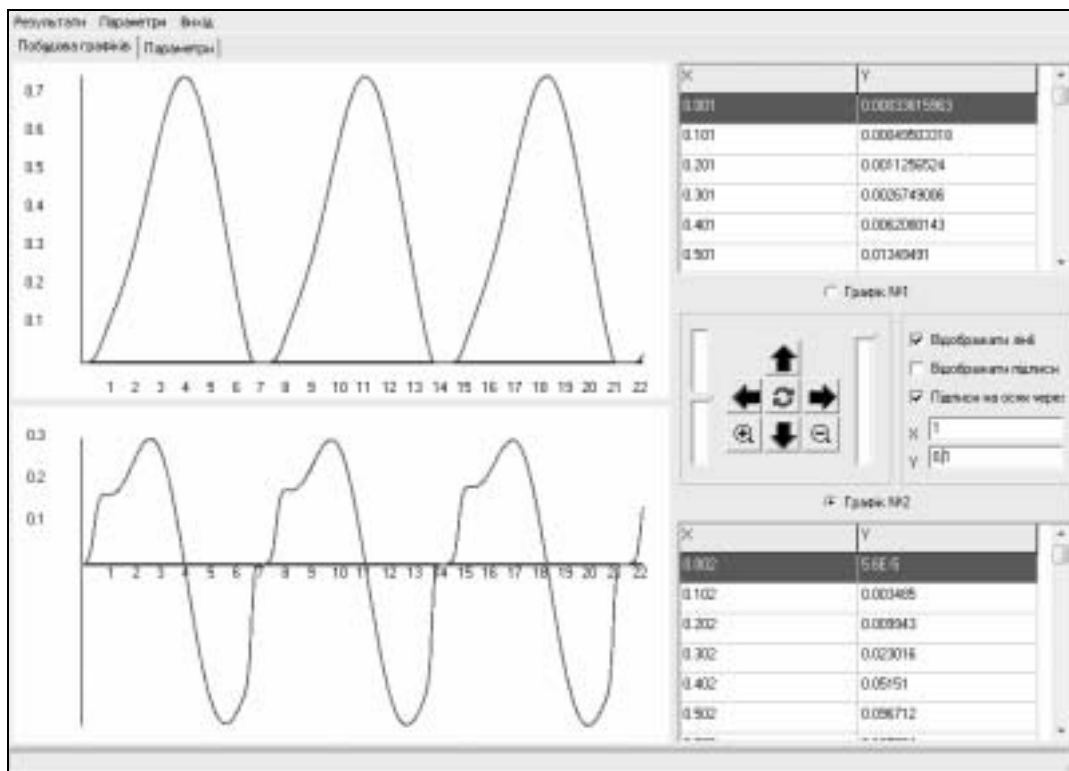


Рисунок 2: Результати моделювання голосового джерела у графічному вигляді.

Набір параметрів для кількісного опису коливань включає [7]: амплітуду від'ємного піка, тривалість фази відкриття, тривалість закритої фази, проміжок часу між додатним і від'ємним піками, час повернення в початкове положення і вторинні параметри, що походять з них: швидкість

відкриття, тривалість фази відкриття голосової щілини відносно періоду основного тону, тривалість фази відкритої голосової щілини відносно тривалості основного тону тощо. Ступінь змикання голосових зв'язок (відстань між зв'язками) відіграє важливу роль у визначенні

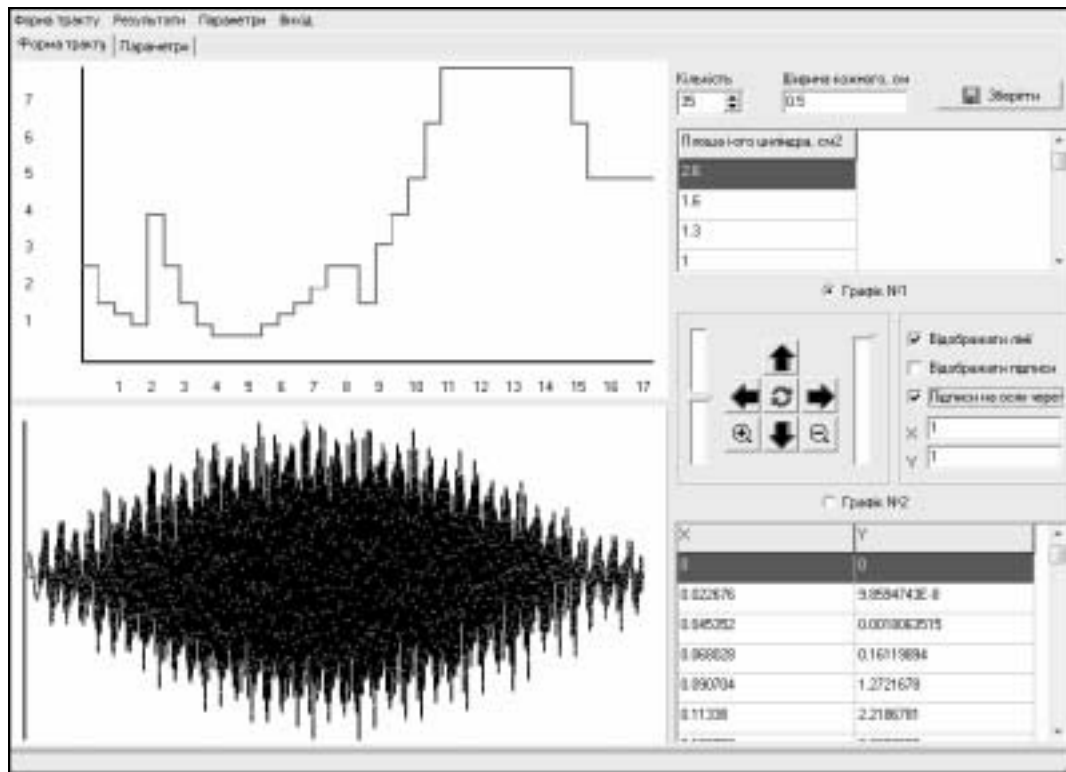


Рисунок 3: Екранна форма для введення параметрів тракту і візуалізації вихідного сигналу.

тривалості фази закриття голосової щілині, різкості закриття і впливає на якість сприйняття фонетичності. Для введення і редагування вихідних даних моделі мовного тракту, зокрема, задання геометричної форми тракту та відображення результатів моделювання вихідного мовного сигналу у цифровому та графічному вигляді був розроблений графічний інтерфейс користувача, екранна форма якого наведена на рисунку 3. За його допомогою користувач моделі може задавати бажану форму мовного тракту та вивчати її вплив на вихідний мовний сигнал. На рисунку 3 наведені форма тракту (верхній графік) та вихідний сигнал (нижній графік) для російського голосного «а». Параметри мовного тракту для російських голосних були використані з роботи [8].

4. Висновки

Розроблені в роботі чисельні алгоритми та програмне забезпечення дають змогу синтезувати і досліджувати мовний сигнал, використовуючи на вході в мовний тракт потік, розрахований за моделлю голосових зв'язок. Розроблений інтерфейс користувача дозволяє у зручному режимі вивчати вплив параметрів голосових зв'язок та форми мовного тракту на сигнал на виході. Наведені в роботі результати моделювання добре узгоджуються з існуючими на цей час уявленнями про джерело звуків, яким є голосові зв'язки людини, та з наведеними в літературі результатами [9,10,11], одержаними за іншими моделями голосових зв'язок. Якість сигналу на виході з мовного тракту оцінюється експертами безпосередньо при відтворенні відповідних звуків.

5. Література

- [1] Ishizaka, K. and Flanagan, J.L., Synthesis of voiced sounds from a two-mass model of vocal cords, Bell Syst. Tech. J., 51(6), pp.1233-1268, 1972.
- [2] M.R.Portnoff, A Quasi-One-Dimensional Digital Simulation for the Time-Varying Vocal-Tract, S.B./S.M. thesis, MIT, Cambridge, Mass., 1973.
- [3] J. Schroeter and M.M. Sondhi, Techniques for Estimating Vocal-Tract Shapes from the Speech Signal, IEEE Trans. Speech Audio Proc., Vol.2(1), 133-150, 1994.
- [4] Ю.В.Крак, І.О.Стеля. Чисельне моделювання голосових зв'язок за двомасовою моделлю, Журнал обчислювальної та прикладної математики, № 1(94), 2007, с.55-60.
- [5] Randal J. Leveque, Finite volume methods for hyperbolic problems, Cambridge University Press, 2002.
- [6] K.W.Morton, D.F.Mayers, Numerical solutions of partial differential equations, Cambridge University Press, 2005, 2nd ed.
- [7] P. Alku and E. Vilkman. A comparison of glottal voice source quantification parameters in breathy, normal, and pressed phonation of female and male speakers. Folia Phoniatr. Logop., (48):240.254, 1996.
- [8] C. G. M. Fant, Acoustic Theory of Speech Production, The Hague: Mouton and Co, 1960.
- [9] J.L.Flanagan and L.L.Landgraf. Self-oscillating source for vocal tract synthesizers, IEEE Trans. Audio Electroacoust., AU-16, pp. 57-64, 1968.
- [10] P.Meyer, R.Wilhelms, and H.W.Strube, A quasiarticulatory speech synthesizer for German language running in real time, J. Acoust. Soc. Am., 86 (2), pp.523-539, August 1989.
- [11] D.Children, D.Hicks, G. Moor and Y. Alsaka, A model for vocal fold vibratory motion, contact area, and the electroglottogram, J. Acoust. Soc. Am., 80, pp. 1309-1320, 1986.